

中等专业学校教学用書

金属热处理

Б.С.納塔波夫著
H.A.布拉戈維申斯基

路光譯

冶金工业出版社

中等专业学校教学用書

金屬熱處理

B. C. 納塔波夫 合著
I. A. 布拉戈維申斯基

路光譯 金材校

冶金工业出版社

Б.С.Наташов Н.А.Благовещенский
ТЕРМИЧЕСКАЯ ОБРАБОТКА МЕТАЛЛОВ
Металлургиздат (Москва 1955)
金属热处理

路光譯

編輯：謝淑蓮 設計：周廣 韓晶石 校對：劉馥云

冶金工业出版社出版（北京市灯市口甲45号）

北京市書刊出版業營業許可證出字第093号

冶金工业出版社印刷厂印 新华书店发行

— * —
1959年6月第一版

1959年6月 北京第一次印刷

印數 7,020 單

開本850×1168·1/32·300,000字·印張 11 $\frac{30}{32}$ ·

— * —
統一書號15062·1528 定價 1.50 元

序

编写本教科书的目的是使学生们熟悉钢的热处理及化学热处理的理论基础和操作实践，并使学生们熟悉特殊钢的成份、性能及热处理特点。

由于目前适合于冶金工业中等技术学校使用的、专门讲述冶金工厂中的半成品及零件热处理操作的教材深感缺乏，故这些问题在本教科书中予以特别注意。

H. A. 布拉戈维申斯基工程师编写第三章的第5节、第四章的第13节、第八章的第34节以及第十七章。

其余章节均由技术科学副博士 Б. С. 纳塔波夫讲师编写。

Г. И. 雷巴尔科（第十八章）、Д. Я. 古列维奇（第十三章）、Д. Н. 锡拉耶夫（第廿章第2节）以及 М. Д. 沃罗舒克（第六、八章）等曾参加了个别章节的编写工作。查波洛什农业机械制造学院金属学教研组的М. Д. 沃罗舒克、Е. И. 帕纳森科、Н. Е. 谢西科、Д. Е. 茨维尔科等在准备本教科书中，曾给予很大的帮助。

作者得到教科书评阅者、技术科学博士 И. Л. 米尔根教授、П. А. 维克托罗夫工程师及技术科学副博士 В. Г. 沃罗勃耶夫等的详细指导及意见。本书编辑、技术科学博士 Ю. М. 拉赫金教授曾提供了非常宝贵的意见。

作者特对以上同志致以深深的谢意。

作者将对提出自己的意见，指出书中存在的缺点及问题的所有同志们表示感谢。

作 者

緒論

热处理的目的是利用加热到一定温度及随后冷却时，使金属组织发生相应改变的方法，赋予金属以所需要的机械及物理性能。

伟大的俄国冶金学者 П.П. 阿諾索夫是研究热处理及现今仍通用的金属的粗型及显微分析方法的创始人。他首先确立了钢的粗型组织与性能间的关系，而且他还是世界上系统地研究合金元素对钢的性能影响的第一人。П. П. 阿諾索夫所研究出的一系列的热处理方法，现在仍被广泛地应用着。

П. П. 阿諾索夫的继承者，俄国学者 Д.К. 切尔諾夫教授指出：钢的性能决定于其内部的组织。他首先发现钢的临界点，即金属的组织发生改变从而钢的性能也发生改变的温度。Д. К. 切尔諾夫的名著“А. С. 拉甫洛夫与 Н. В. 卡拉庫茨基論鋼及鋼制大炮一文之評論”及其对该問題之亲自研究奠定了有关钢及其热处理的科学概念之基础。Д. К. 切尔諾夫是金属科学的奠基人，是“金相学之父”，这一称号当其还在世的时候，便已受之无愧了。我国学者 А. А. 尔热朔塔尔斯基、Н. И. 别略耶夫、Н. С. 库尔納科夫、А. А. 巴依科夫、С. С. 斯坦恩别尔格、Н. С. 明克维奇等，以及外国学者奥斯孟德、罗伯特——奥斯丁、索拜等繼續作的許多工作都是 Д. К. 切尔諾夫首先工作的发展。

十九次党代表太会有关苏联所有工业部门发展的決議中給苏联的金属学——热处理工作者提出了巨大的任务：运用新的提高机器零件及工具的抗磨性的热处理方法；运用快速加热，机械化及自动化的方法强化热处理过程；广泛地运用高强度的低合金钢；用提高操作过程的温度的方法来缩短化学热处理的延续时间；在工业中运用气体渗碳法等。

热处理一般是决定零件使用性能的最終操作过程，所以热处理工作者應該在深入了解理論的基础上，在生产中运用科学及技术的新成就，有意地控制热处理过程，不断地改善它。

目 录

序

緒論

第一章 金屬及合金的工程試驗.....	1
第1节 金屬組織的研究	1
第2节 金屬的機械性能	3
第3节 金屬的探傷	19
第二章 進行相變的基本熱力學條件	27
第三章 鑄鋼的組織及缺陷	33
第4节 鐵—碳狀態圖	33
第5节 鋼的分類	38
第6节 鑄鋼的組織及缺陷	40
第7节 鋼中的非金屬夾雜物及氣體	47
第四章 塑性變形後鋼的組織及性能	52
第8节 冷態塑性變形及其對鋼的組織及性能的影響	52
第9节 加熱對冷態塑性變形鋼的組織及性能的影響	55
第10节 热態塑性變形	59
第11节 热變形金屬的組織及性能	60
第12节 變形鋼的缺陷	65
第13节 熔煉檢查	71
第五章 鋼的熱處理理論	75
第14节 热處理的概論	75
第15节 鐵碳合金熱處理的類別	77
第16节 加熱時鋼中的相變	79
第17节 加熱時奧氏體晶粒的長大	83
第18节 冷却時鋼中的轉變	94
第19节 等溫轉變	102
第20节 奧氏體在連續冷却時及在恒溫時轉變的對比	103
第21节 奧氏體向馬氏體的轉變	109
第22节 鋼的淬透性	113

第23节 鋼的回火	119
第六章 金屬及合金的机械性能与其組織之間的关系的基本規律.....	125
第24节 鋼的組織对性能影响的一般規律	125
第25节 热处理对鋼性能的影响	152
第七章 鋼的淬火及回火	166
第26节 加热溫度及加热速度的选择	166
第27节 加热介質的化学作用	171
第28节 淬火时的冷却介質	175
第29节 淬火时产生的缺陷	178
第30节 实际淬火方法	183
第31节 鋼的回火	186
第32节 冷处理	187
第33节 鋼的时效	189
第八章 鋼的退火及常化	193
第34节 鋼的退火	193
第35节 鋼的常化	198
第36节 型鑄件的退火	199
第九章 表面淬火.....	202
第37节 火焰加热表面淬火	202
第38节 B. D. 弗罗格金高頻率淬火法	204
第39节 H. B. 吉維林哥表面淬火法	209
第40节 H. S. 亚斯諾高罗得斯基的鋼在电解液中的加热	209
第十章 鋼的渗碳.....	212
第41节 渗碳层的形成及构造	213
第42节 固体渗碳	214
第43节 气体渗碳	217
第44节 渗碳用鋼	220
第45节 渗碳后鋼的热处理	224
第十一章 氮化	228
第46节 氮化层的組織及性能	228
第47节 氮化用鋼	231

第十二章	鋼的氮化	233
第48节	鋼在液体介質中的氮化	233
第49节	气体氮化	236
第50节	固体氮化	237
第十三章	金屬扩散	239
第51节	滲鋁	239
第52节	滲鉻	240
第53节	滲矽	241
第十四章	結構鋼	242
第54节	滲碳鋼	242
第55节	調質鋼的性能及熱處理	249
第56节	彈簧鋼	253
第57节	滾珠軸承鋼	252
第十五章	工具鋼	264
第58节	切削工具鋼	264
第59节	冲模鋼	276
第十六章	具有特殊物理性能的鋼及合金	280
第60节	不銹鋼	280
第61节	热安定及抗热的鋼及合金	286
第62节	电工用鋼	297
第十七章	鋼錠及型金屬的熱處理	304
第63节	鋼錠	304
第64节	型金屬	305
第十八章	鋼板的熱處理	310
第十九章	鋼絲的熱處理	325
第二十章	鋼管的熱處理	336
第二十一章	製制零件的熱處理	339
第65节	鋼軌的熱處理	339
第66节	輪圈及車輪的熱處理	343
第67节	鐵路用車軸的熱處理	344
第二十二章	鑄鐵的熱處理	346
第68节	灰口鐵的熱處理	346

第69节	白口鐵的热处理	350
第廿三章	軋輶的热处理	358
第廿四章	有色金屬及合金的热处理	364
第70节	再結晶退火	364
第71节	鑄造合金的退火	364
第72节	銅合金的淬火及回火	367
第73节	鋁合金的淬火及时效	369
第74节	鎂合金的淬火及回火	373
参考文献	376

第一章 金屬及合金的工程試驗

金屬或合金的性能决定于其制造及随后的加工过程。热处理的目的是要获得决定金屬或合金的物理一机械性能的某种組織。

材料的質量，用它来制造某些零件的适宜性，可用不同的方法来确定，属于这类方法者有：

- 1) 金屬組織的檢查 檢查斷口、低倍組織及顯微組織，以及利用磁力探傷、X光透視、超音波等方法查明表面及內部的缺陷。
- 2) 机械性能的測定 在布氏、洛氏及維氏等硬度計上測量硬度；作拉伸、扭轉、疲勞（耐勞度）試驗；測定衝擊韌性，試驗高溫時的蠕變及長期強度。
- 3) 工艺試驗及其他特殊試驗 測量片狀材料上壓出圓坑的最大深度、試驗反復弯曲（片狀材料、絲等）、磨損、頂鍛等。
- 4) 物理性能的測定 測量磁性、線膨脹系數及有關電的性能、試驗腐蝕傾向等。
- 5) 热容量及導熱性等的測量

現在簡單地討論某些試驗方法的本質。

第1節 金屬組織的研究

斷口的研究，一般是在熔炼检验时所特制的样品上，或者在机械試驗过程中破坏了的标准冲击試样及標準拉伸試样上进行的。

斷口有助于查明金屬的質量，常常还能查出其性能降低的原因。

对鋼斷口的研究，特別是对工具鋼、滲碳鋼等斷口的研究，也是評定热处理是否正确的好方法。

金属的断口是用肉眼，借助于放大镜或双筒显微镜来研究的。

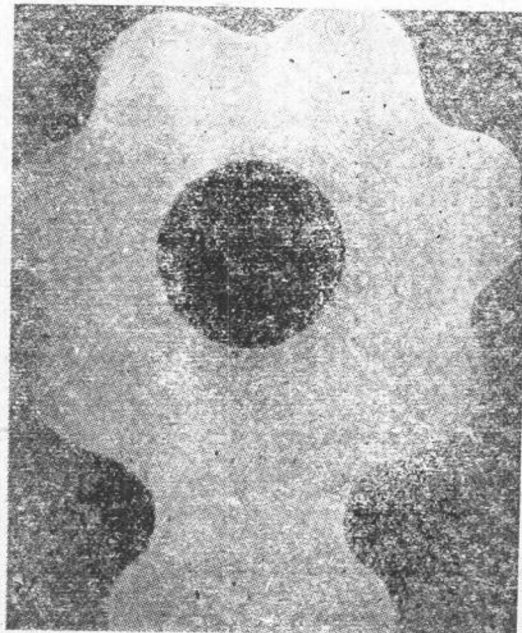


图 1 連杆鍛件的低倍組織

研究金属的低倍组织就可以确定其均匀性、密度、纯度、非金属夹杂的存在以及内部组织的某些缺点（例如纤维的分布）。为此目的，将特意截取的金属样品（磨片）进行磨光，随后用特殊试剂（例如热的5%的硝酸溶液）腐蚀之（图1）。

化学成份的不均匀性（例如硫及磷浓度的局部增大）一般均按包曼法研究之。此法是要在溴化银的相纸上获得试样表面的硫印。将相纸在光线中于5%的硫酸溶液中浸湿，再紧紧地贴在样品上。凡是金属中硫及磷集聚的地方，便形成硫化银及银的磷化物，从而使相纸上呈暗黄色至褐色。于是硫及磷富集地区的分布状况在硫印上便变得明显可见。

顯微分析是供評定鋼及其熱處理的質量用的。顯微磨片是在顯微鏡下從50倍放大到2000倍進行研究的，在未浸蝕狀態下用以查明非金屬夾雜物；而當磨片經浸蝕之後，則用以確定金屬中的組織。

第2節 金屬的機械性能

金屬的機械性能屬於金屬的最重要的性能之列。

設計師及工藝師在選擇不同用途的金屬時，所關心的是它的機械性能，因為大多數的金屬零件均承受着不同載荷的作用。根據機械試驗時所獲得的某些特性，就能確定出金屬對變形及破裂的抗力。

為了確定一個與變形體的尺寸無關的載荷數值，介紹一下“應力”的概念。為了求得應力，要把所施加的載荷除以試樣橫截面的面積。假若所施加之力垂直於截面，那麼相當的正應力可用下列的關係來表明：

$$\sigma = \frac{P}{F} \text{ 公斤/公厘}^2, \quad (1)$$

式中： σ ——應力，公斤/公厘²；

P ——載荷，公斤；

F ——橫截面面積，公厘²。

假若作用力的方向與橫截面呈某一角度，則可將其分解為引起相應的正應力及切應力的法向分量與切向分量（圖2）。

切應力引起塑性變形，然後由變形以剪切方式而達到破壞。

變形可分彈性變形和塑性變形。在第一種情況下，載荷取消後變形隨即消失；而在第二種情況下，變形殘留不變。彈性變形的出現，伴有原子間距離的改變。

在正應力的作用下，最初僅晶格常數發生改變（圖3，6），之後當正應力的數值超過原子間的結合力時，一部份晶體便與另外一部份斷開，即發生脆性破裂（圖3，6）。

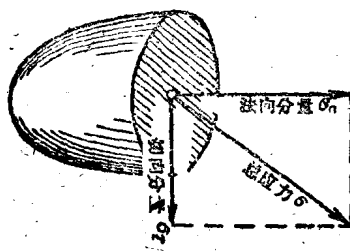


图 2 总应力分解为切向的及法向的分量

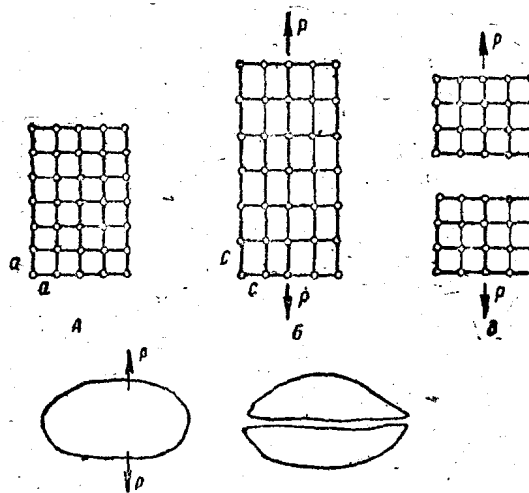


图 3 正应力作用在晶格上的示意图

a—无应力; b—晶格的弹性扭曲; c—通过脆断的破坏

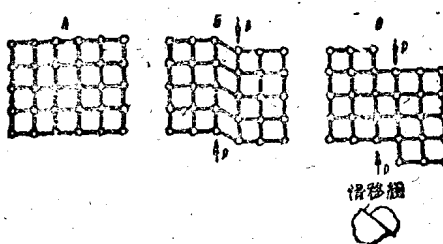


图 4 切应力作用在晶格上的示意图

a—无应力; b—切应力作用下的弹性扭曲; c—通过滑移的塑性变形

切应力最初也只引起晶格的弹性扭曲（图 4，6），但随后当应力达到一定的临界值时，便发生滑移——金属的一部份对另外一部份产生切变（图 4，6）。但是应该注意，纯粹因正应力（脆断）及切应力（切断）而造成的破坏是不会有的。结晶材料在“脆性”破坏之前，总有少量的滑移产生。反之，当拉伸试样发生韧性破坏时，正应力也起很大的作用。因为最终的破坏很可能是在正应力的直接作用下发生的。



图 5 08KPI 钢脆性断裂处的显微组织。×450

在图 5 上表示出低碳钢在脆性破坏处的显微组织。低碳钢在剪切破坏前发生相当大的变形的显微组织如图 6 所示。

若将上列的显微组织加以对比，即可看出：若仅因脆断而发生破坏，晶粒一点也没有变形。

在第二种情况下（图 6），则晶格呈现相当大的变形。

除了因施加外部载荷所引起的，而当载荷卸除后立即消失的

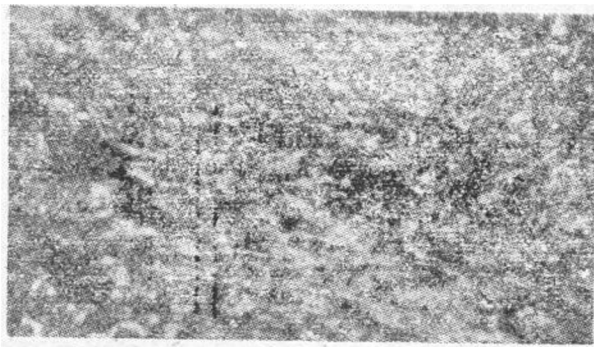


图 6 08KII 鋼經相當大的變形后的顯微組織。 $\times 450$

应力之外，还可能产生一种残余应力，它在去除外因之后仍残留在物体内部。

在除去外因之后，仍残留在物体中的残余应力，可以分作三类：

- 1) 第一类应力，或者在尺寸与物体尺寸同級的区域內平衡的应力；
- 2) 第二类应力，是在与晶粒尺寸同級的体积內平衡的应力；
- 3) 第三类应力，是在与基本晶格大小同級的体积內平衡的应力。

鋼及其他金属及合金的机械性能与外部条件有很大的关系，这些外部条件即加载荷的方法、加载荷速度、零件的形状、温度、周围介质的特性等。

加于物体的载荷可能是：逐渐增大的或固定作用的静载荷；迅速施加的或以冲击方式施加的动载荷；反复施加的周期性载荷。

拉伸試驗 是最通用的一种試驗方法。为了全面地研究金属的机械性能，試驗时要繪制拉伸图，該图表达出力（或应力）与变形之間的关系。

直接在試驗裝置上記錄下来的原始拉伸图，是以应力——綫

变形(伸长)为坐标而繪成的(图7)。

条件应力图是以载荷被試样原截面除得的值和試样的变形量(伸长)为坐标而繪成的(图8, a)。

真应力图是以载荷被試驗当时的截面所除得的值, 即真应力和真伸长为坐标而得到的(图8, b)。

絕對伸长 Δl 是指試样破裂时的伸长数值:

$$\Delta l = l - l_0$$

式中: l ——試样破裂时的长度, 公厘;

l_0 ——試样的原始长度, 公厘。

相对伸长乃是絕對伸长(Δl)除以原始长度(l_0) \times 的商。

$$\delta = \frac{\Delta l}{l_0} \times 100\% \quad (2)$$

并以百分数表示。

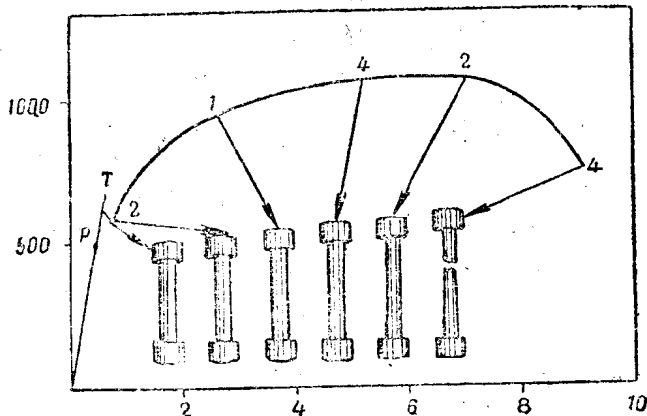


图 7 軟銅的原始拉伸图

真伸长是每一瞬间試样长度的增量除以变化着的試样长度。

$$e = l_n \left(\frac{1}{1 - \psi} \right) = l_n \frac{F_o}{F_n} \quad (3)$$

式中: ψ ——縮頸处的收縮率;

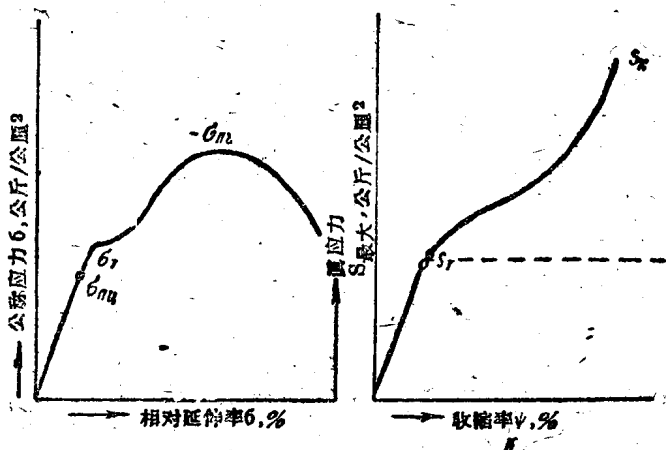


图 8 应力图
a—条件应力图; t—真应力图

F_0 —試样的原始面积, 公厘²;

F_t —变形过程中試样的最終面积, 公厘²。

真应力图把材料的机械性能較为正确地表达了出来。

由图 8 a 可以看出, 在加载的起始阶段, 弹性区域的变形是与应力成比例的, 并按正比定理(虎克定理)变化。

$$\delta = \frac{\sigma}{E} \quad (4)$$

式中: δ —变形;

σ —应力; 公斤/公厘²;

E —正弹性系数, 公斤/公厘²。

弹性系数代表材料的刚性。

弹性系数 E 是直线对变形轴倾斜角的正切。低于某应力(弹性极限)时, 变形是可逆的(弹性的), 并与应力成直线关系(低于比例极限)。金属在小量变形范围内的性能可用比例极限 σ_{un} 、弹性极限 σ_{y1} 及屈服极限 σ_s 表述之。弹性极限及屈服点說明弹性变形区域内的特性, 所以是最重要的结构特性。